

บทที่ 3

ผลการทดลองและวิเคราะห์ข้อมูล

3.1 การวัดขนาดของเส้นไขปอแก้ว

ตารางที่ 3.1 แสดงค่าความยาว ขนาดเส้นผ่านศูนย์กลาง และอัตราส่วนระหว่างความยาวของเส้น ไขกับขนาดเส้นผ่านศูนย์กลาง (L/D) ของเส้นไขปอแก้วทั้งชนิดที่ไม่ผ่านการทำความสะอาดเบื้องต้น (NP) และชนิดที่ผ่านการทำอัลคาไลน์เซชัน (CL) จากค่าที่ได้พบว่าเส้นไขที่ไม่ผ่านการทำความสะอาดเบื้องต้นจะมีขนาดเส้นผ่านศูนย์กลางเฉลี่ยสูงกว่าเส้นไขที่ผ่านการทำอัลคาไลน์เซชัน แสดงว่าการทำอัลคาไลน์เซชันมีผลทำให้เส้นไขปอแก้วมีขนาดเล็กลง

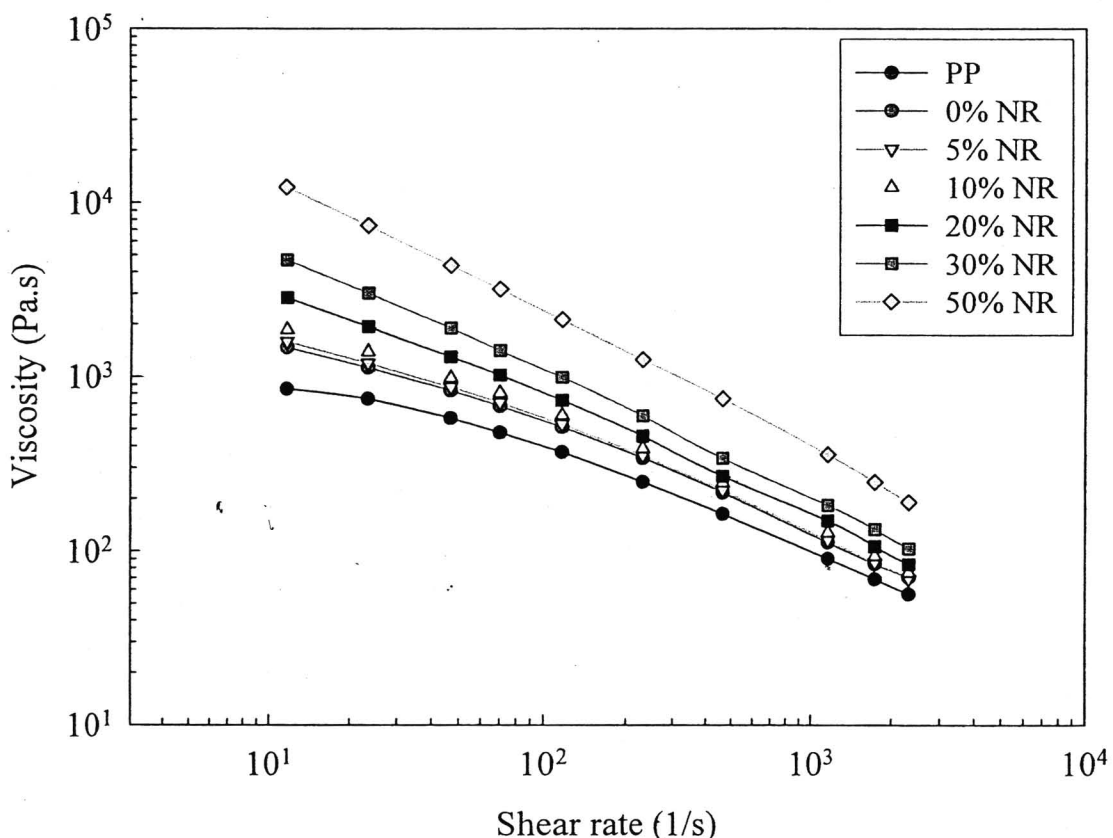
ตารางที่ 3.1 ความยาว เส้นผ่านศูนย์กลาง และอัตราส่วนระหว่างความยาวและเส้นผ่านศูนย์กลางของ เส้นไขปอแก้วที่ไม่ผ่านการทำความสะอาดเบื้องต้น และเส้นไขปอแก้วที่ผ่านการทำอัลคาไลน์เซชัน

ชนิดเส้นไข	ความยาว (มม.)		เส้นผ่านศูนย์กลาง (มม.)		L/D
	พิสัย	ค่าเฉลี่ย	พิสัย	ค่าเฉลี่ย	
NP	0.71-3.92	1.86±0.71	27.2-166.0	71.6±27.2	26.69
CL	0.60-2.54	1.26±0.60	30.5-190.0	55.1±30.3	27.98

3.2 สมบัติทางกระแสวิทยาของวัสดุเชิงประกอบระหว่างยาง เส้นไขปอแก้ว และพอลิโพรพิลีน

3.2.1 ผลกระทบของอัตราส่วนผสมของยางธรรมชาติต่อสมบัติทางกระแสวิทยาของวัสดุเชิง ประกอบ

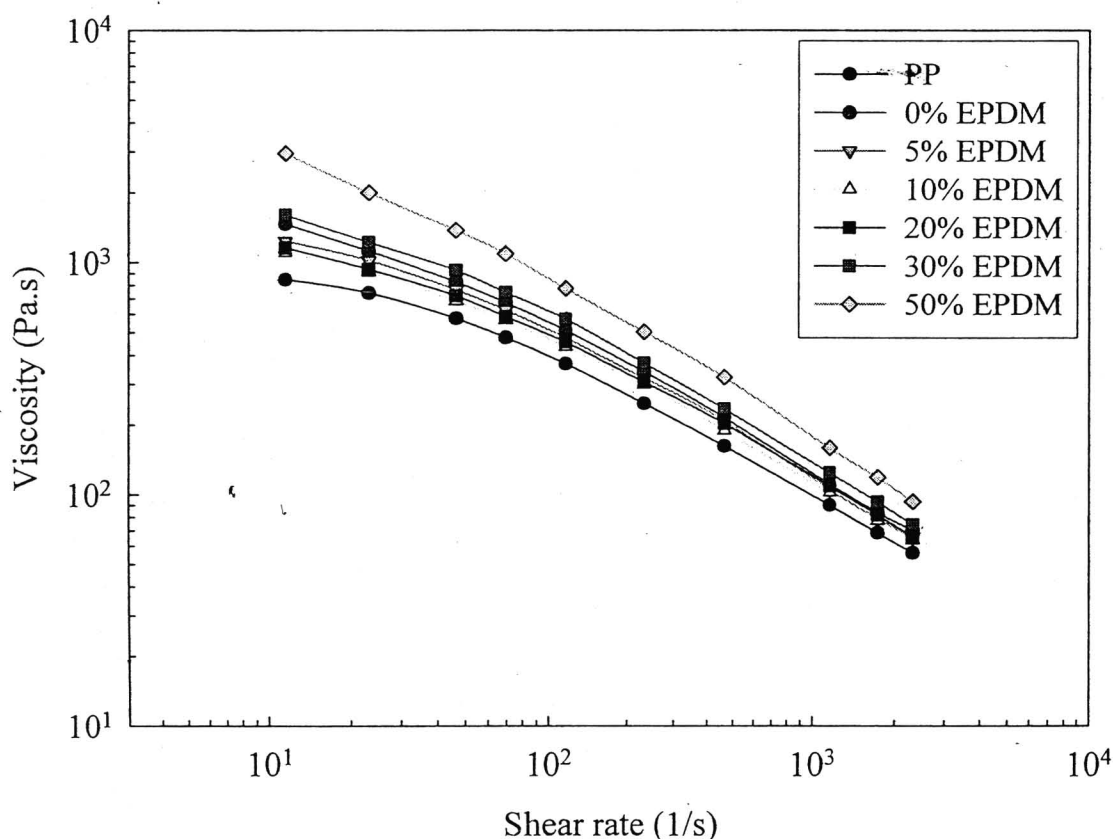
กราฟแสดงความหนืดที่อัตราเฉือนต่างๆ ของพอลิโพรพิลีนและวัสดุเชิงประกอบระหว่างยางธรรมชาติ เส้นไขปอแก้ว และพอลิโพรพิลีน ที่อัตราส่วนผสมของยางธรรมชาติที่ต่างกัน แสดงในรูปที่ 3.1 ผลการทดลองพบว่าค่าความหนืดของพอลิโพรพิลีนเพิ่มขึ้นเมื่อมีการใส่เส้นไขปอแก้ว ซึ่งกล้ายกับผลการศึกษาว่าวัสดุเชิงประกอบระหว่างพอลิโอลีฟินกับเส้นไขธรรมชาติ [22, 23] และวัสดุเชิงประกอบระหว่างพอลิโพรพิลีนกับเส้นไขแก้ว [24] ส่วนค่าความหนืดของวัสดุเชิงประกอบจะมีค่าเพิ่มขึ้นเมื่อมีปริมาณยางธรรมชาติเพิ่มขึ้นโดยเฉพาะที่ 50 เปอร์เซ็นต์โดยน้ำหนัก ทั้งนี้ เนื่องจากยางธรรมชาติมีความหนืดที่สูงมากเมื่อเทียบกับพอลิโพรพิลีน



รูปที่ 3.1 กราฟแสดงความหนืดที่อัตราเนื้อนต่างๆ ณ อุณหภูมิ 200 องศาเซลเซียสของวัสดุเชิงประกอบระหว่างยางธรรมชาติ เส้นใยปอเก้า และ พอลิไพรพีลิน ที่อัตราส่วนผสมของยางธรรมชาติต่างกัน

3.2.2 ผลกระทบของอัตราส่วนผสมของยาง EPDM ต่อสมบัติทางกระแสวิทยาของวัสดุเชิงประกอบ

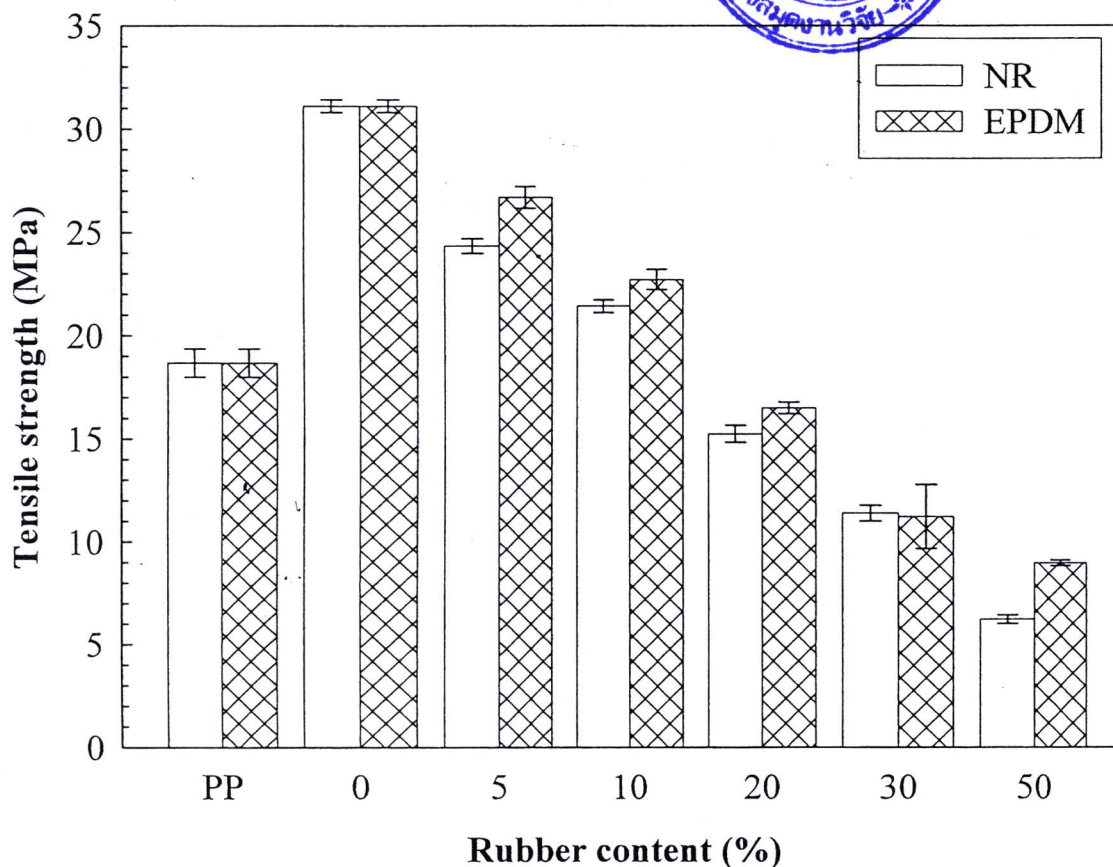
กราฟแสดงความหนืดที่อัตราเนื้อนต่างๆ ของพอลิไพรพีลินและวัสดุเชิงประกอบระหว่างยาง EPDM เส้นใยปอเก้า และพอลิไพรพีลิน ที่อัตราส่วนผสมของยางธรรมชาติ EPDM ที่ต่างกันแสดงในรูปที่ 3.2 พบว่าวัสดุเชิงประกอบที่มีอัตราส่วนผสมของยางธรรมชาติ เพิ่มขึ้นจะมีค่าความหนืดสูงขึ้น โดยที่อัตราส่วนผสมของยางธรรมชาติ 50 เบอร์เซ็นต์โดยน้ำหนัก จะมีค่าความหนืดสูงที่สุด เช่นเดียวกับกรณีวัสดุเชิงประกอบจากยางธรรมชาติ แต่ยาง EPDM ที่ใช้เนื่องจากมีความหนืดน้อยกว่ายางธรรมชาติจึงทำให้ความหนืดของวัสดุเชิงประกอบเพิ่มขึ้นน้อยกว่าที่ผสมกับยางธรรมชาติ



รูปที่ 3.2 กราฟแสดงความหนืดที่อัตราเรือนต่างๆ ณ อุณหภูมิ 200 องศาเซลเซียสของวัสดุเชิงประกอบระหว่างยาง EPDM เส้นไยปอแก้ว และ พอลิไพรพลีน ที่อัตราส่วนผสมของยาง EPDM ต่างกัน

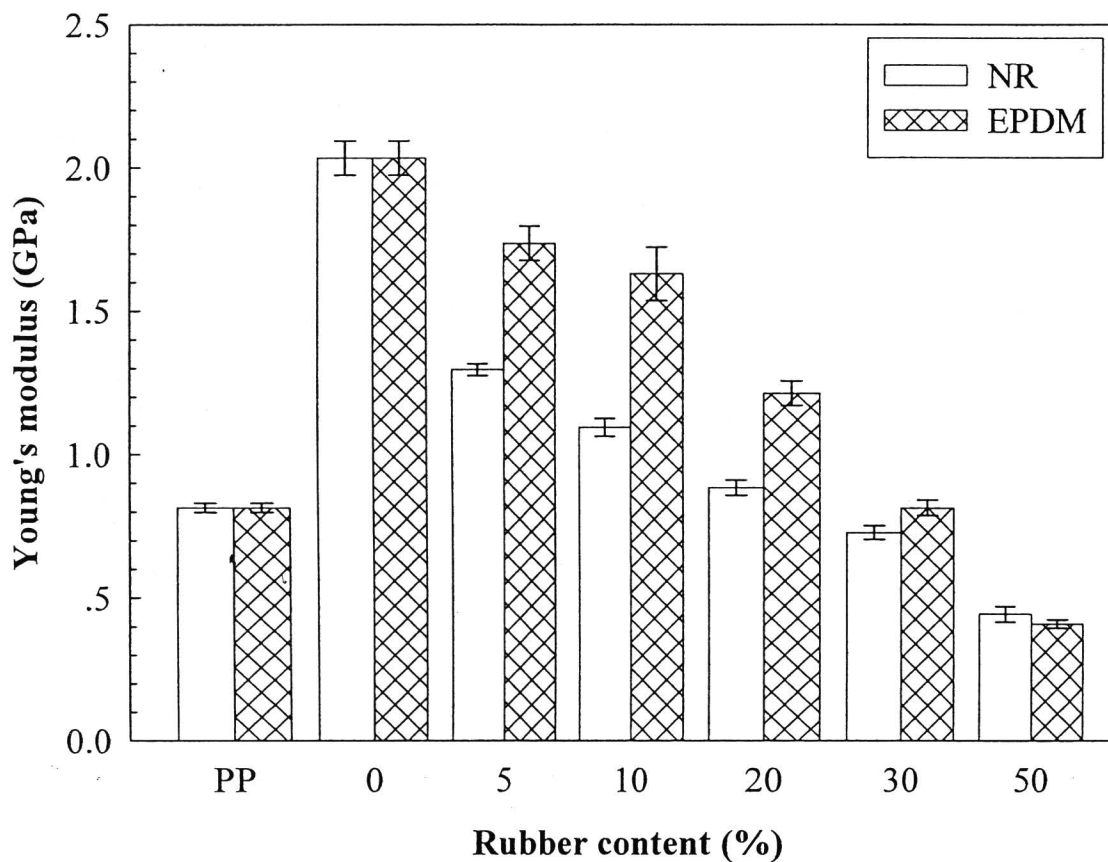
3.3 สมบัติทางกลของวัสดุเชิงประกอบระหว่างยางธรรมชาติและยาง EPDM เส้นไยปอแก้ว และพอลิไพรพลีน

ผลการทดสอบสมบัติทางกลของวัสดุเชิงประกอบที่อัตราส่วนผสมของยางธรรมชาติและยาง EPDM ต่างๆ กัน แสดงในรูปที่ 3.3-3.8 ค่าความต้านทานแรงดึง และค่ามอดูลัสของยังก์ของพอลิไพรพลีจะเพิ่มขึ้นเมื่อมีการใส่เส้นไยปอแก้ว เนื่องจากค่าความต้านทานแรงดึงและค่ามอดูลัสของยังก์ของเส้นไยปอแก้วมีค่าที่สูงกว่าพอลิไพรพลีมาก เมื่อเติมยางธรรมชาติและยาง EPDM ลงในพอลิเมอร์เชิงประกอบค่าความต้านทานแรงดึงและค่ามอดูลัสของยังก์ของวัสดุเชิงประกอบจะลดลงเมื่อปริมาณยางเพิ่มขึ้น ซึ่งคล้ายกับผลการศึกษาสมบัติทางกลของวัสดุเชิงประกอบที่มีการปรับปรุงความแข็งเหนียว (toughness) ระหว่างพอลิเอทธิลีนชนิดความหนาแน่นสูง (HDPE) กับเส้นไไม้ไผ่ (bamboo fiber) [25] อย่างไรก็ตามค่าความต้านทานแรงดึงและค่ามอดูลัสของยังก์ของวัสดุเชิงประกอบจะมีค่าสูงกว่าพอลิไพรพลีที่ปริมาณยาง 5 และ 10 เปอร์เซ็นต์โดยน้ำหนัก



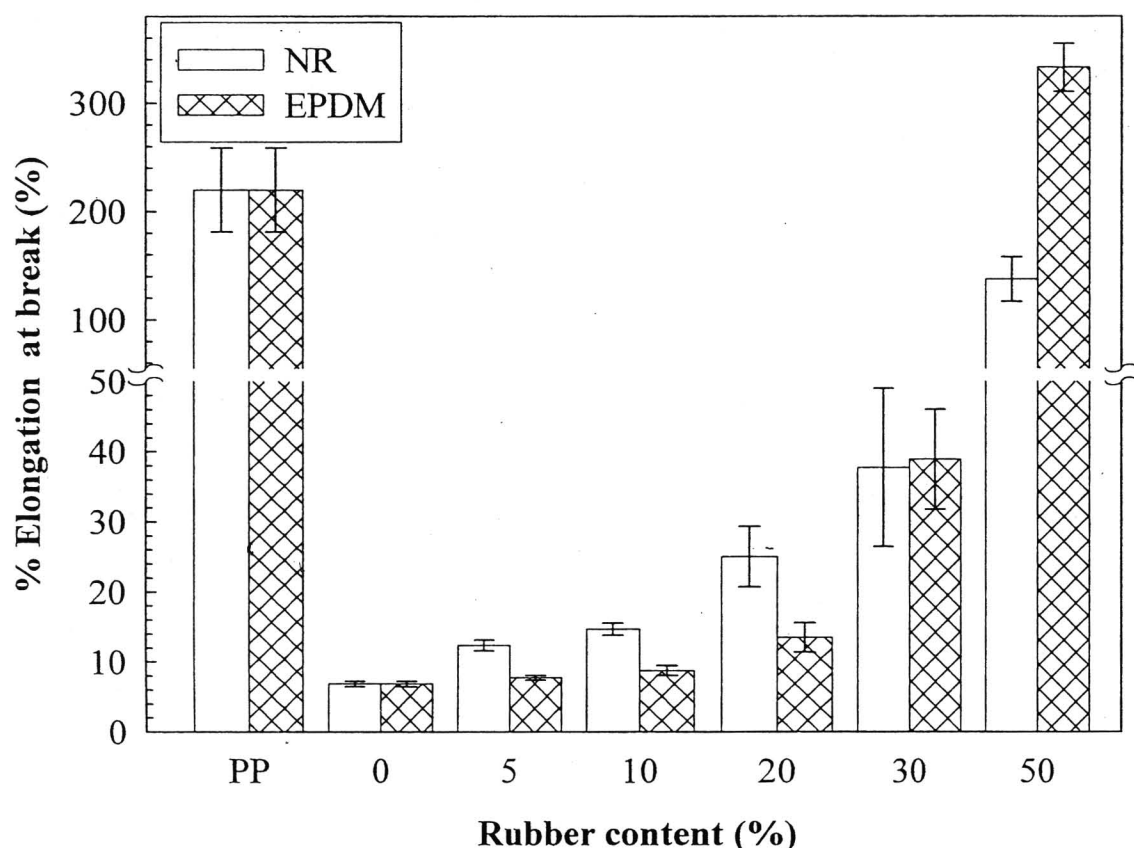
รูปที่ 3.3 ความต้านทานแรงดึง (tensile strength) ของวัสดุเชิงประกอบระหว่างยางธรรมชาติ ยาง EPDM เส้นใยปอเก้ว และ พอลิไพรพลีน ที่อัตราส่วนผสมของยางต่างๆ กัน



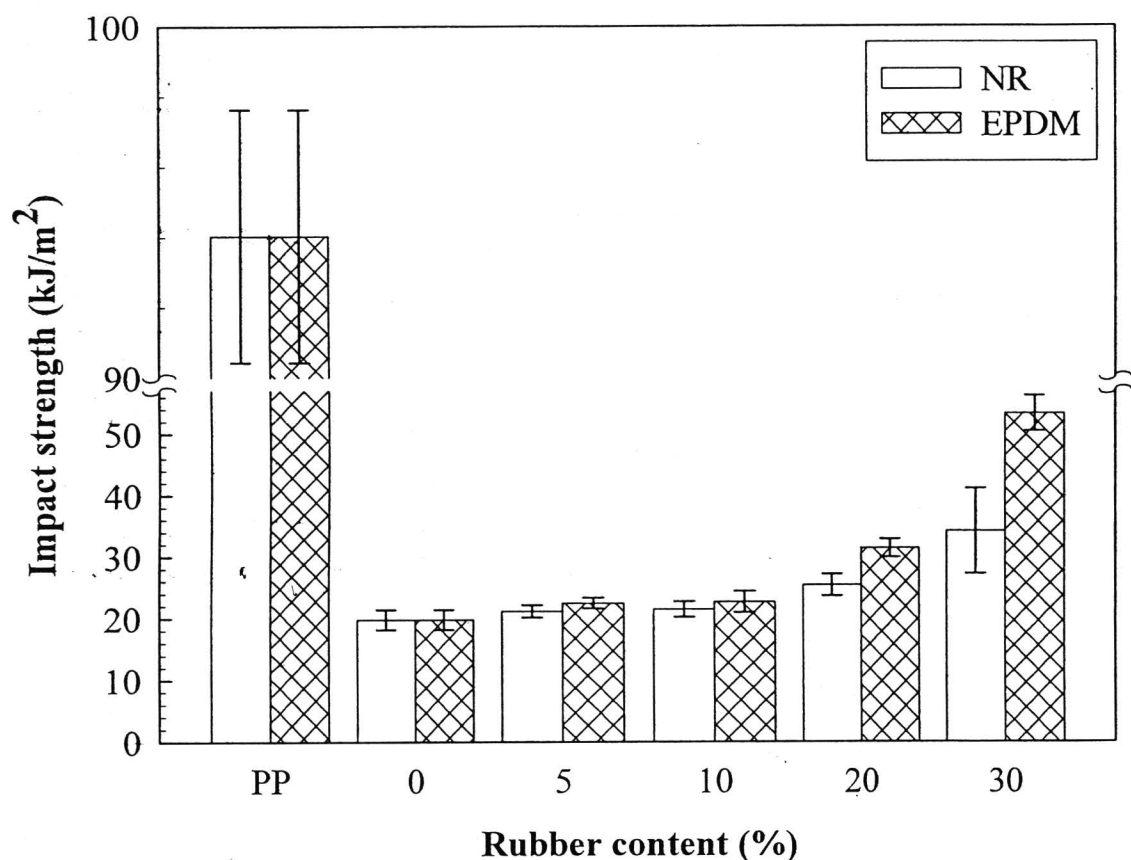


รูปที่ 3.4 ค่ามอดูลัสของยังก์ (Young's modulus) ของวัสดุเชิงประจุบอนระหว่างยางธรรมชาติ ยาง EPDM เส้นใยปอเก้า และ พอลิไพรพิลีน ที่อัตราส่วนผสมของยางต่างๆ กัน

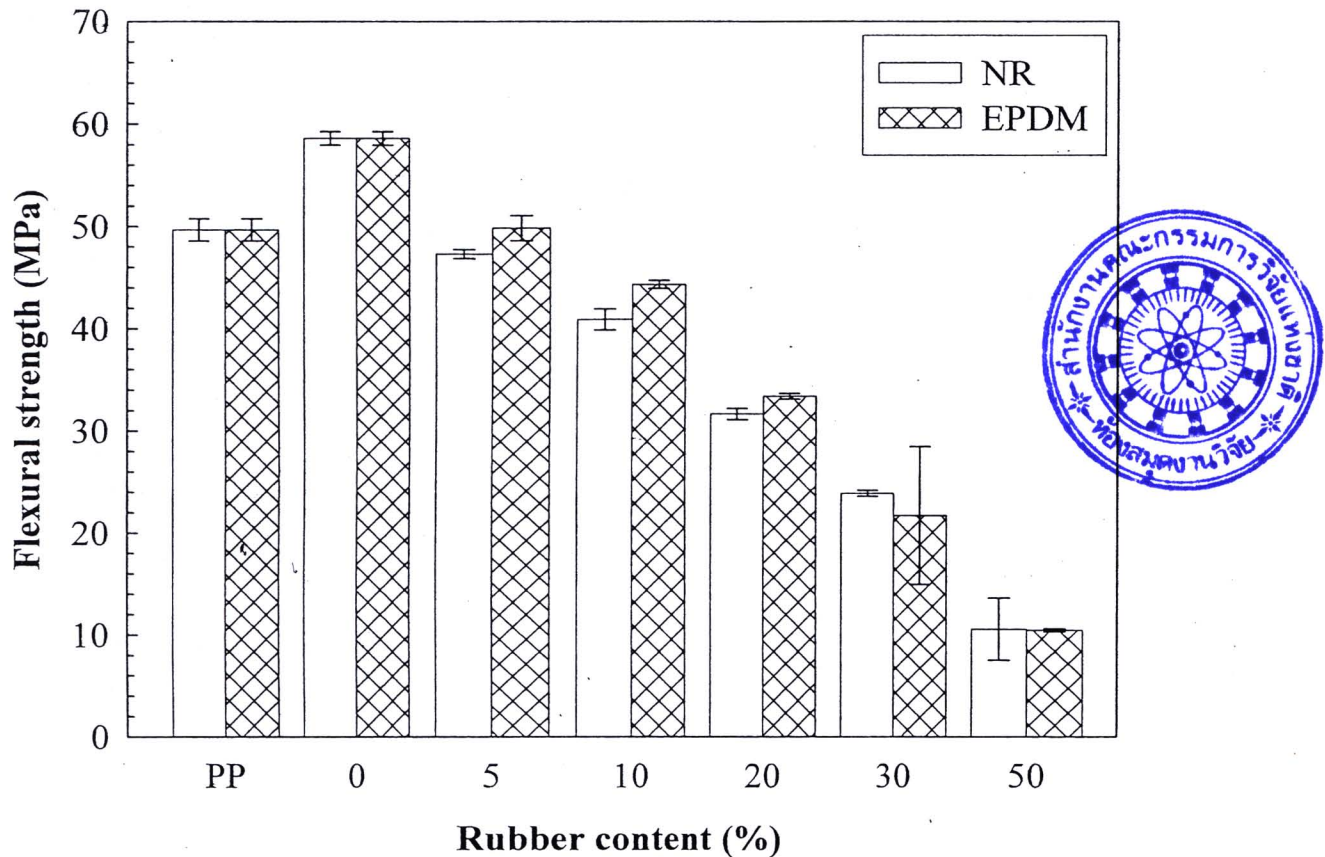
ค่าความยืดหยุ่น ณ จุดแตกหักและค่าความต้านทานการกระแทกของวัสดุเชิงประจุบอนที่ไม่เติมยางธรรมชาติกับยางEPDM จะต่ำกว่าพอลิไพรพิลีน อย่างไรก็ตามค่าความยืดหยุ่น ณ จุดแตกหักและค่าความต้านทานการกระแทกมีแนวโน้มเพิ่มขึ้นเมื่อปริมาณยางเพิ่มขึ้น เช่นเดียวกับผลการศึกษาของ Lui et al. และ Yang et al. [25, 26] กรณียางธรรมชาติและยาง EPDM ที่ปริมาณ 50 % ไม่สามารถทดสอบค่าความหน่วงแรงกระแทกได้เนื่องจากข้อจำกัดของเครื่องมือที่ไม่สามารถติดให้ชี้งงานแตกได้



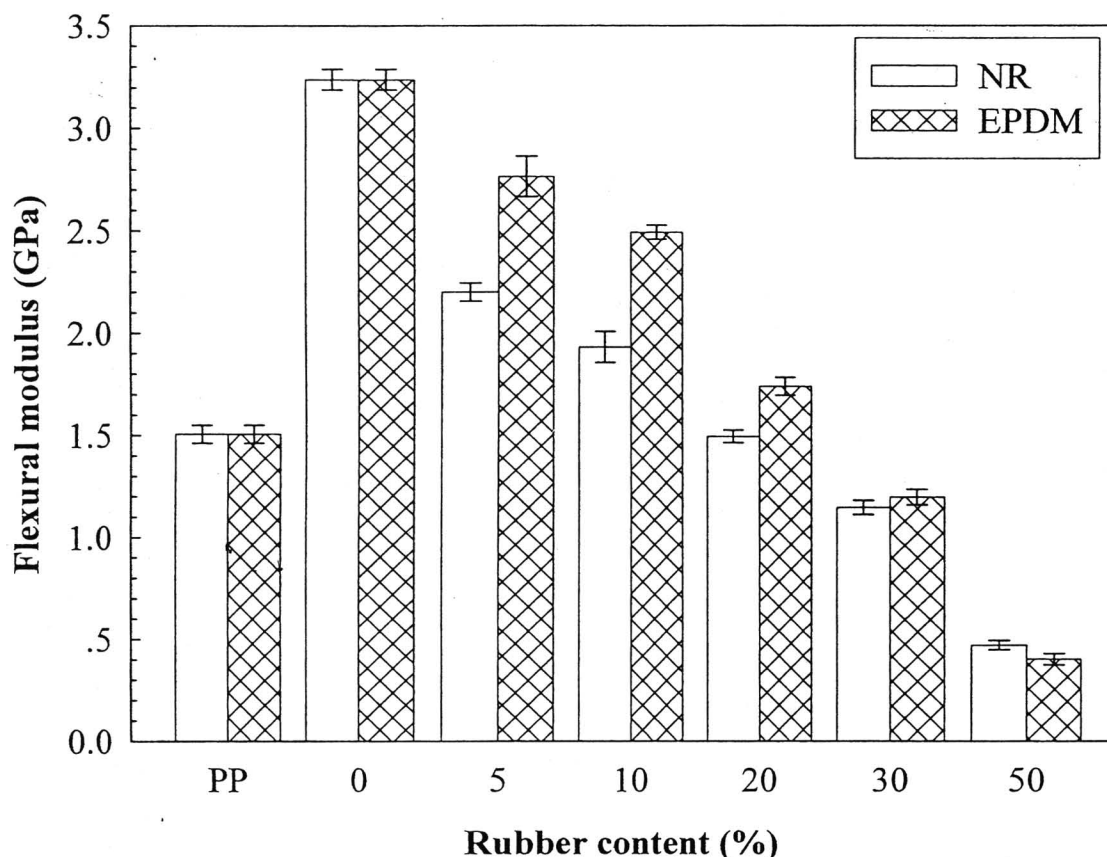
รูปที่ 3.5 ความยืดหยุ่น ณ จุดแตกหัก (elongation at break) ของวัสดุเชิงประกอบระหว่างยางธรรมชาติ ยาง EPDM เส้นใยปอเก็ว และ พอลิไพรพลีน ที่อัตราส่วนผสมของยางค่างๆ กัน



รูปที่ 3.6 ค่าความต้านทานการกระแทก (impact strength) ของวัสดุเชิงประจุระหว่างยางธรรมชาติ
ยาง EPDM เส้นใยปอเก้า และ พอลิไพรพีลิน ที่อัตราส่วนผสมของยางต่างๆ กัน



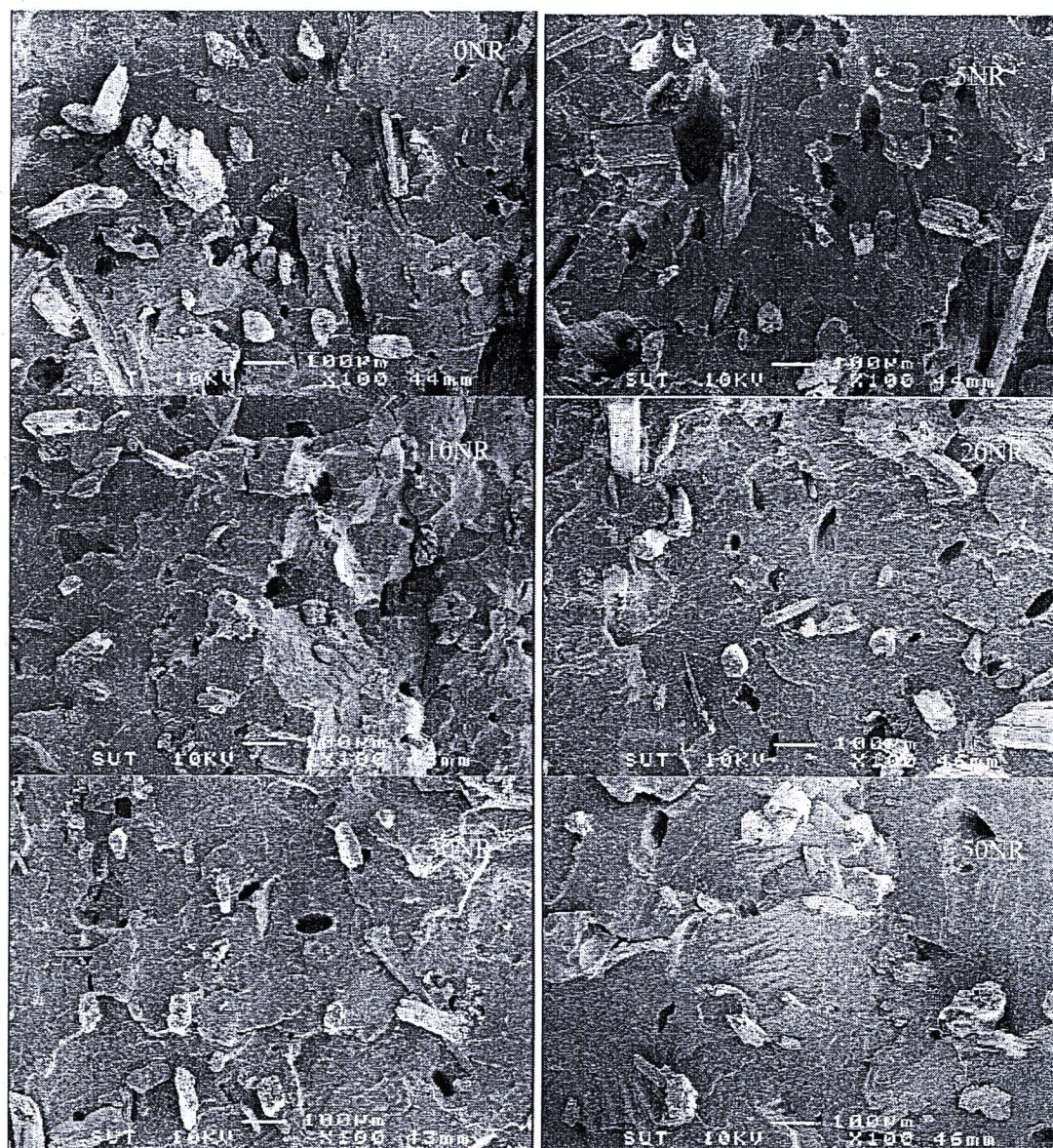
รูปที่ 3.7 ความต้านทานแรงดึง (flexural strength) ของวัสดุเชิงประจุบอร์ห่วงยางธรรมชาติ ยาง EPDM เส้นใยปอเก้า และ พอลิไพรพลีน ที่อัตราส่วนผสมของยางต่างๆ กัน



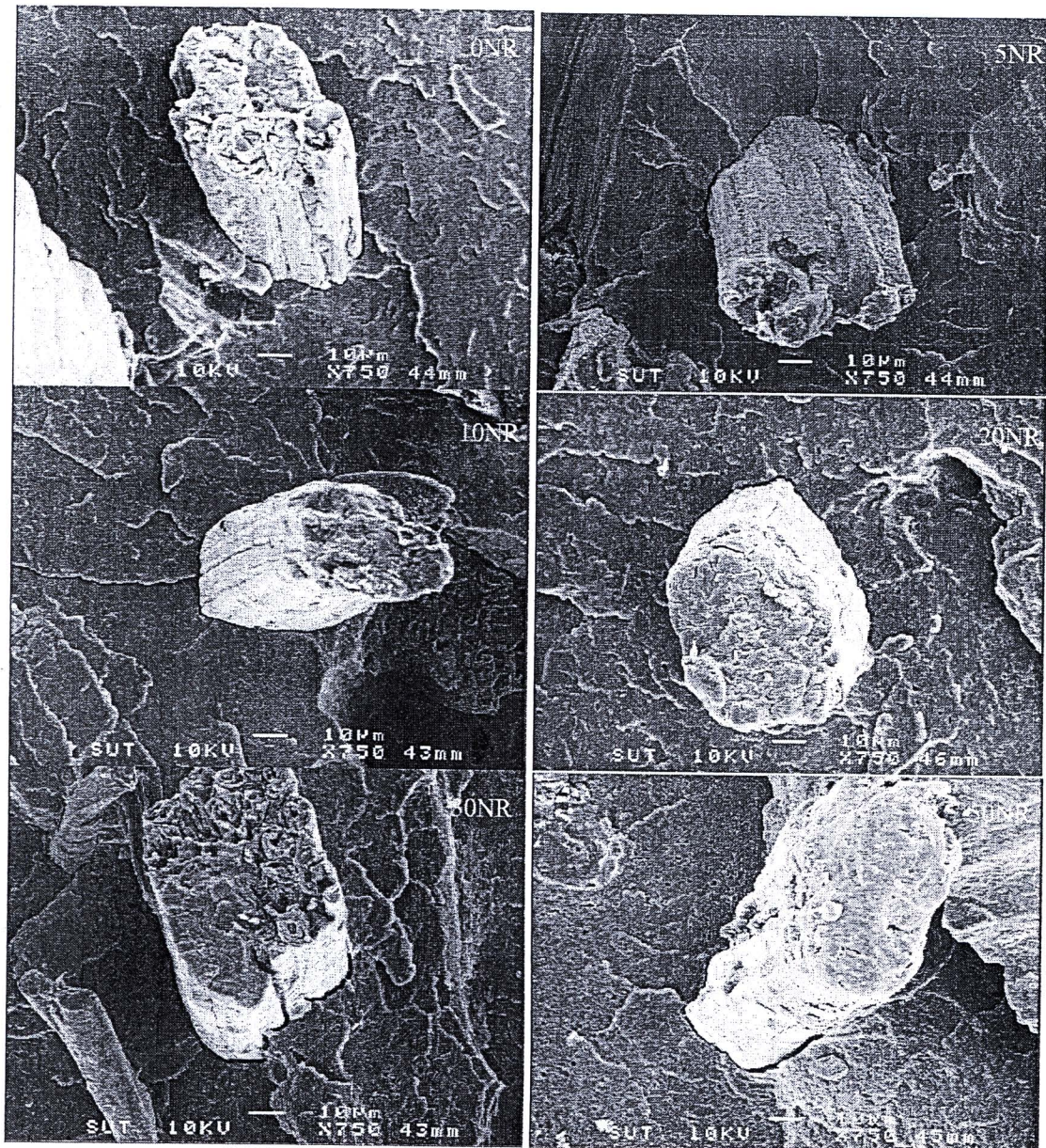
รูปที่ 3.8 ค่ามอดูลัสแรงดึง (flexural modulus) ของวัสดุเชิงประกอบระหว่างยางธรรมชาติ ยาง EPDM เส้นไบปอแก้ว และ พอลิโพรพิลีน ที่อัตราส่วนผสมของยางต่างๆ กัน

3.4 ลักษณะทางสัณฐานวิทยาของวัสดุเชิงประกอบระหว่างยาง เส้นไบปอแก้ว และพอลิโพรพิลีน

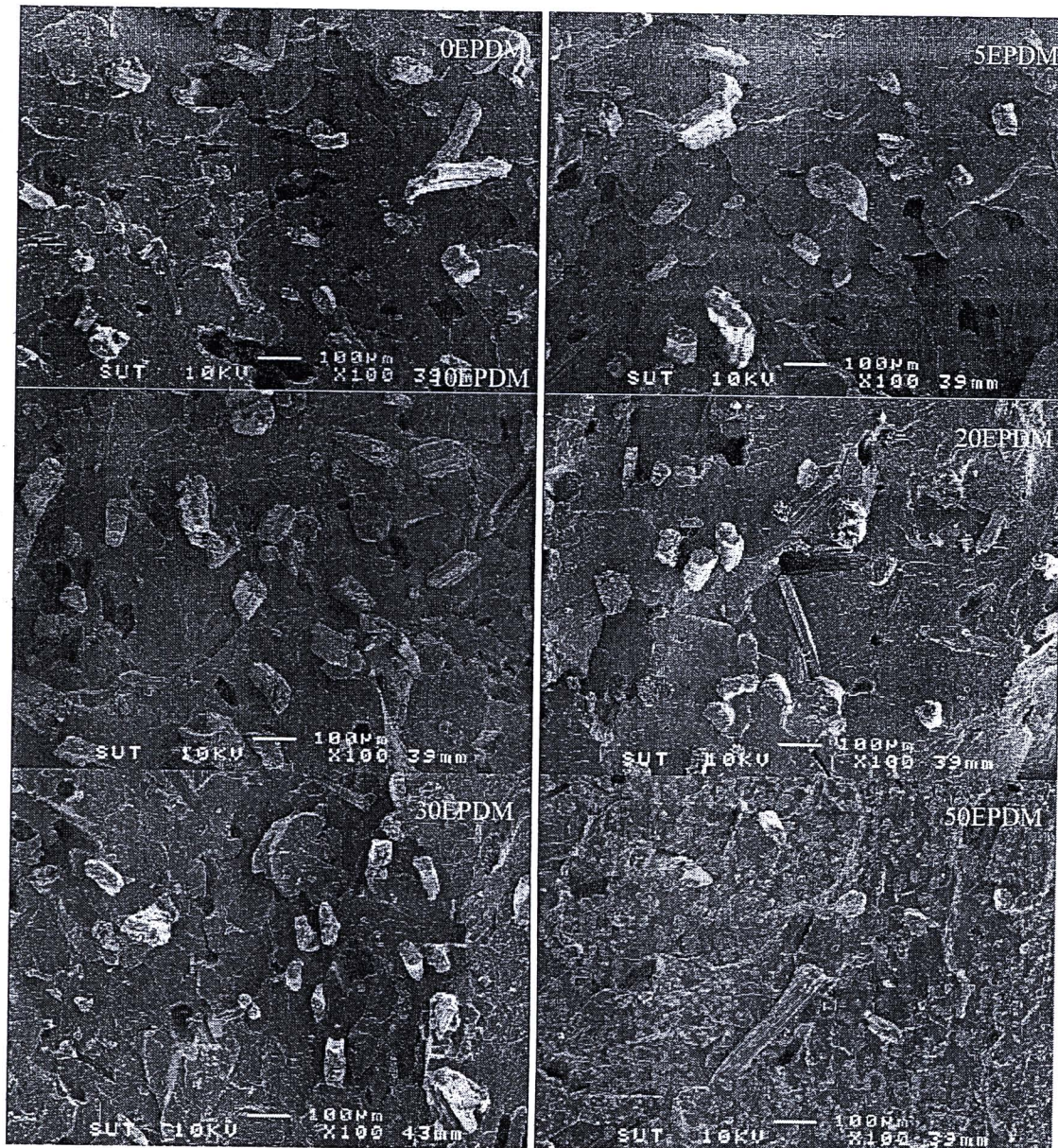
จากรูปที่ 3.9-3.12 พนวจลักษณะการยึดติดระหว่างเนื้อพอลิเมอร์และเส้นไบปอแก้วยังไม่คื เท่าที่ควร เนื่องจากช่องระหว่างเนื้อพอลิเมอร์และเส้นไบปอแก้วมีขนาดใหญ่ [25] ส่งผลให้ค่าความ ทนแรงดึงของวัสดุเชิงประกอบไม่คิดถึงกล่าวไว้ข้างต้น เมื่อเปรียบเทียบระหว่างยางธรรมชาติและยาง EPDM จะเห็นว่าลักษณะการยึดติดของเนื้อพอลิเมอร์และเส้นไบปอแก้วไม่แตกต่างกันมากนัก ทั้งกรณี พสมยางธรรมชาติและยาง EPDM



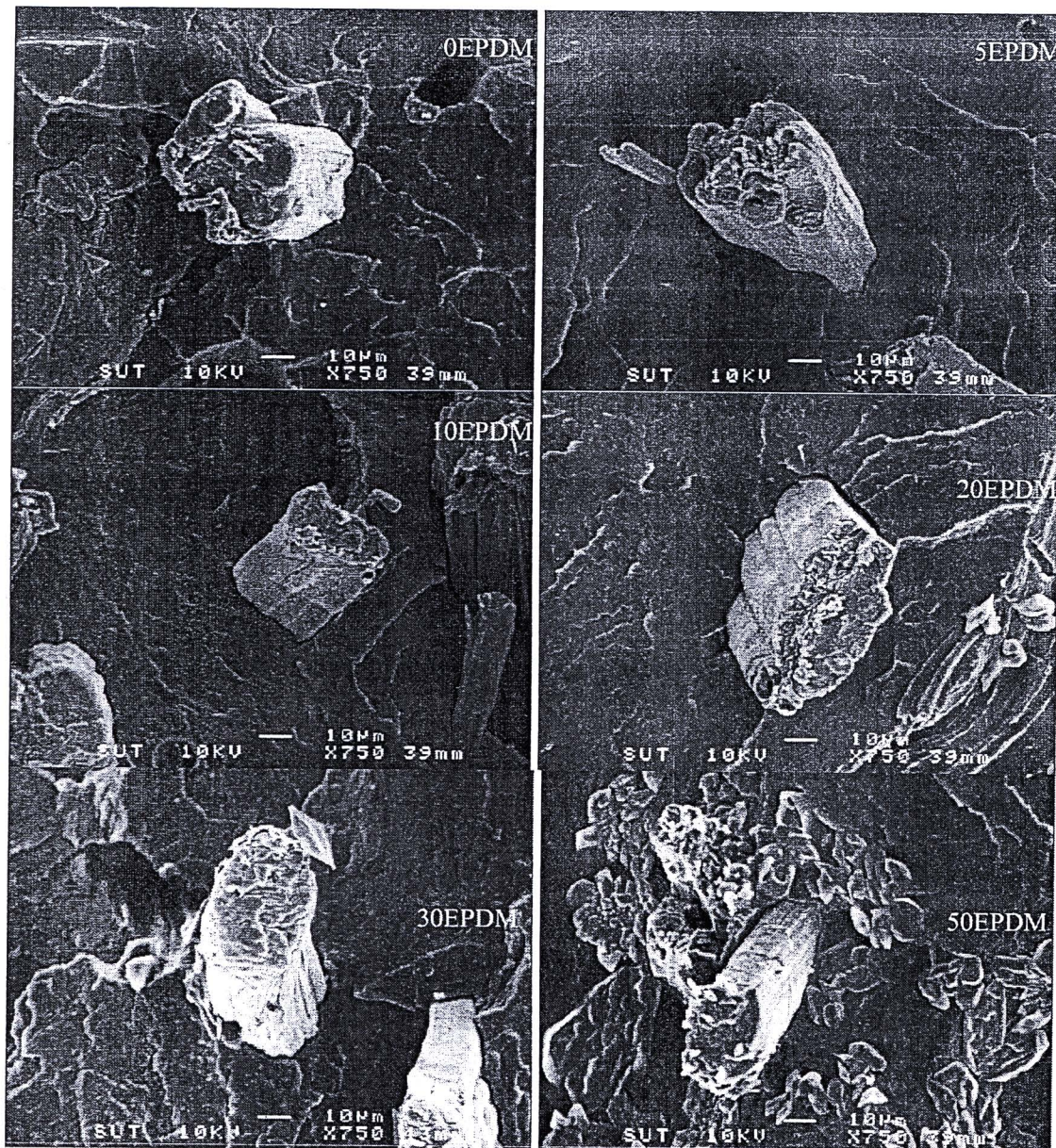
รูปที่ 3.9 SEM micrographs ของวัสดุเชิงประภณฑ์ระหว่างยางธรรมชาติ เส้นใยปอเก้า และ พอลิ-โพรมีลีนที่ปริมาณยางธรรมชาติต่างๆ ที่กำลังขยาย 100 เท่า



รูปที่ 3.10 SEM micrographs ของวัสดุเชิงประภณะระหว่างยางธรรมชาติ เส้นใยปอแก้ว และ พอลิ-โพรพีลีน ที่ปริมาณยางธรรมชาติต่างๆ ที่กำลังขยาย 750 เท่า



รูปที่ 3.11 SEM micrographs ของวัสดุเชิงประจุบาระหว่างยาง EPDM เส้นใยปอแก้ว และพอลิไพริเด็น ที่ปริมาณยาง EPDM ต่างๆ ที่กำลังขยาย 100 เท่า



รูปที่ 3.12 SEM micrographs ของวัสดุเชิงประจุอิเล็กทรอนิกส์ที่ประกอบด้วย EPDM เส้นใยปอแก้ว และพอลิไพรพิลีน ที่ปริมาณยาง EPDM ต่างๆ ที่กำลังขยาย 750 เท่า